

- Eur Radiol, 2012, 22(8):1709-1716.
- [10] Benson R, Madan R, Kilambi R, et al. Radiation induced liver disease: A clinical update. J Egypt Natl Canc Inst, 2016, 28(1):7-11.
- [11] Chapman TR, Kumarapeli AR, Nyflot MJ, et al. Functional imaging of radiation liver injury in a liver metastasis patient: Imaging and pathologic correlation. J Gastrointest Oncol, 2015, 6(3):E44-E47.
- [12] Idilman IS, Gumruk F, Haliloglu M, et al. The feasibility of magnetic resonance imaging for quantification of liver, pancreas, spleen, vertebral bone marrow, and renal cortex R_2^* and proton density fat fraction in transfusion-related iron overload. Turk J Haematol, 2016, 23(1):21-27.
- [13] Henninger B, Kremser C, Rauch S, et al. Evaluation of MR imaging with T1 and T2 * mapping for the determination of hepatic iron overload. Eur Radiol, 2012, 22(11):2478-2486.
- [14] Camargo GC, Rothstein T, Junqueira FP, et al. Comparison of myocardial T1 and T2 values in 3T with T2 * in 1.5T in patients with iron overload and controls. Int J Hematol, 2016, 103(5):530-536.
- [15] Hu G, Chan Q, Quan X, et al. Intravoxel incoherent motion MRI evaluation for the staging of liver fibrosis in a rat model. J Magn Reson Imaging, 2015, 42(2):331-339.

Huge exogenous angiomyolipoma of left kidney: Case report 左肾巨大外生性血管平滑肌脂肪瘤 1 例

尹莲实,金光玉,刘建华

(延边大学附属医院影像一科,吉林 延吉 133000)

[Key words] Lipoma; Kidney neoplasms; Tomograpgy, X-ray computed

[关键词] 脂肪瘤;肾肿瘤;体层摄影术,X线计算机

DOI:10.13929/j.1003-3289.2016.11.004

[中图分类号] R737.11; R814.42 [文献标识码] B [文章编号] 1003-3289(2016)11-1648-01

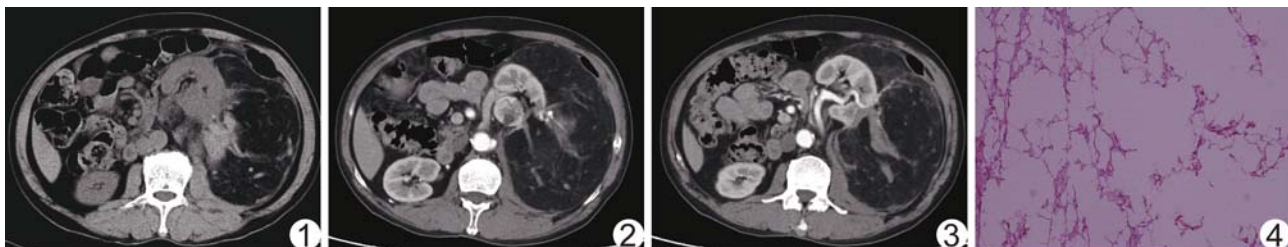


图1 CT平扫示肿瘤内出血
病理图(HE,×10)

图2 CT增强示肾皮质楔形缺损,肾脏向前推移

图3 CT增强示肿瘤供血动脉穿过肾实质

图4

患者男,62岁,无明显诱因左腰痛伴恶心3天入院。查体:左肋下触及成人手掌大小且质地偏硬肿物,伴压痛。CT检查:平扫示左侧肾周间隙约2.0 cm×17.6 cm×22.0 cm大小脂肪密度肿块,边界清,密度不均,内可见分隔及斑点状钙化,并可见出血(图1);肾皮质局部楔形缺损与病灶相连,左肾及肠管推向内前方(图2)。增强示肿瘤内可见粗大血管影,左肾动脉分支穿过肾皮质延伸至肿块内,肿块内供血动脉呈小瘤样扩张,直径约6 mm(图3)。CT诊断:左肾巨大血管平滑肌脂肪瘤。行左后腹腔肿瘤切除术,术中见左上腹膜后大小约20 cm×15 cm肿物,大部分左肾被包裹,肿瘤与左肾及腹膜黏连明显,肿瘤部分坏死、内有出血。病理诊断:左肾血管平滑肌脂肪瘤(图4)。

讨论 肾脏血管平滑肌脂肪瘤是肾脏良性肿瘤中最常见的一

种。病灶起源于肾间叶细胞,由血管、平滑肌及脂肪组成,一般无明显临床症状,病灶较小时多在体检中偶然发现,但病灶较大并呈外向型生长时,常易发生破裂、出血。由于CT具有良好的密度分辨率及空间分辨力,故CT是肾平滑肌脂肪瘤的主要影像学检查方法。巨大肾平滑肌脂肪瘤的CT表现为:①病灶起源于肾实质,与肾实质有较明显分界;②病灶内存在脂肪成分;③病灶中有粗大血管影。当肾血管平滑肌脂肪瘤体积大时,可突出于肾轮廓,并向肾周及肾旁间隙内生长,表现为肾周巨大含脂肿块,此时需与腹膜后脂肪肉瘤鉴别:①外生性肾血管平滑肌脂肪瘤起源于肾,与肾交界面不完整,存在皮质缺损;腹膜后脂肪肉瘤起源于肾周间隙内的脂肪组织,肾交界面较完整。②肾动脉分支是肾血管平滑肌脂肪瘤的供血动脉,一般穿过肾实质走行;脂肪肉瘤不存在肾动脉供血,其供血血管与肾分离,并绕过肾实质走行。③外生性肾血管平滑肌脂肪瘤体积大时,病灶内血管缺如弹力内膜且扭曲变形、管腔扩张,易伴出血;脂肪肉瘤属乏血供肿瘤,出血少见。

[第一作者] 尹莲实(1982—),女,吉林图们人,硕士,医师。

E-mail: lyeonsil@163.com

[收稿日期] 2016-05-07 [修回日期] 2016-07-28